

«возврат каретки на одну позицию» и «перевод строки без возврата каретки» обеспечивает печать  $15 \div 20$  каналов гистограммы в минуту. На рис. 3 показана гистограмма одного из заходов по измерению профиля пучка многопроволочным вторично-эмиссионным датчиком. Возможности программ обработки и системы сбора данных позволяют полностью автоматизировать процесс измерения фазового объема пучка.

Данная система находится в эксплуатации с начала 1979 г. Характерные условия работы системы: энергия пучка  $2 \div 15$  кэВ, полный ток  $0,1 \div 1$  А; плотность тока в районе датчика  $0,1 \div 15$  мА·см $^{-2}$ , длительность импульса

$10 \div 100$  мкс. При этом достигнута точность определения угловой расходимости  $10^{-4}$  рад на базе  $\sim 50$  см.

#### ЛИТЕРАТУРА

- Гетманов В. И., Баткин В. И. В кн.: Вопросы атомной науки и техники, сер. Техника физического эксперимента. Харьков: ХФТИ АН УССР, 1979, вып. 2(4), с. 80.
- Данилов Л. Л., Иванов П. М., Купер Э. А. и др. Тр. 1-го Всес. совещ. по автоматизации научных исследований в ядерной физике. Киев: Ин-т ядерных исследований АН УССР, 1976, с. 219.

Институт химической кинетики и горения СО АН СССР,  
Новосибирск  
Поступила в редакцию 31.VII.1981

УДК 684.32

## ИНТЕРФЕЙС ВВОДА-ВЫВОДА ЦИФРОВОЙ ИНФОРМАЦИИ ДЛЯ Э.В.М. «ЭЛЕКТРОНИКА ДЗ-28»

ЖУКОВ А. А., СЛЫНЧЕНКО В. И.

Описаны устройства ввода и вывода цифровой информации для э.в.м. «Электроника Дз-28», выполненные на микросхемах серии К155. В качестве примера рассмотрена программа ввода информации в э.в.м. от внешнего устройства.

По своим функциональным возможностям э.в.м. «Электроника Дз-28» хорошо приспособлена для использования в небольших автоматизированных экспериментальных системах. Вместе с тем эта э.в.м. не комплектуется интерфейсами для подсоединения к ней внешних приборов, а в техническом описании [1] схемы таких устройств отсутствуют. Ниже описан простой интерфейс ввода-вывода цифровой информации для э.в.м. «Электроника Дз-28», позволяющий производить обмен информацией с небольшим количеством ( $5 \div 10$ ) внешних приборов.

Основной частью интерфейса ввода являются 8 мультиплексоров  $M_1 \div M_8$ . На рисунке, *a* представлена схема подключения одного из этих мультиплексоров  $M_2$ . Выходы мультиплексоров соединены с шиной «Ввод»  $B_{\text{в}}$  э.в.м. Дз-28 [1]. Управляющие входы всех микросхем одинаковым образом подключены к шине э.в.м.  $X_3$ . Таким образом, изменяя состояние управляющей шины  $X_3$ , можно последовательно подключать ко входу э.в.м. различные информационные выходы внешних приборов. Информация с внешних приборов представлена в двоично-десятичном коде 1—2—4—8. Для удобства программирования двоичные разряды поступающей на интерфейс информации подсоединенны к микросхемам, которые подключе-

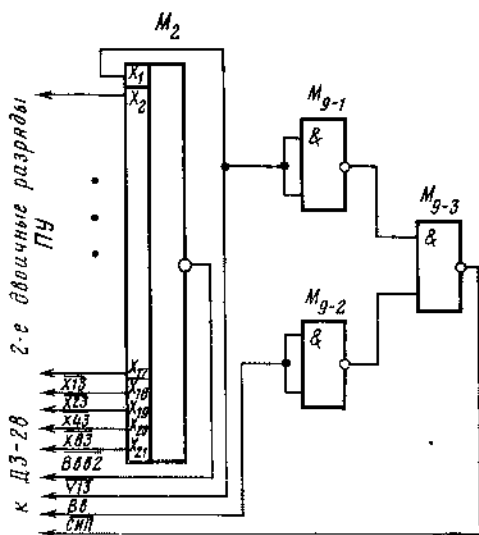
ны к соответствующим двоичным разрядам 1—2—4—8 частей *a* и *b* шины  $B_{\text{в}}$  э.в.м. Кроме того, для циклического программирования ввода информации с многоразрядного прибора его разряды подсоединенны последовательно ко входам  $X_1 \div X_{15}$ . Для уменьшения потребляемой мощности мультиплексоры стробируются импульсом, открывающим их только на время считывания. При вводе информации используются нечетные значения шины  $Y_3$  э.в.м., поэтому для стробирования служит управляющий сигнал  $Y_13$  для всех мультиплексоров. Количество мультиплексоров и их вид определяются числом входных каналов. В данном случае ко входу может быть подключено 128 двоичных каналов. В 2 раза меньшее число каналов можно получить с помощью 8 микросхем К155КП5 или К155КП7. Синхронизация процесса ввода информации в э.в.м. осуществляется с помощью блока формирования импульса СИП, выполненного на микросхеме  $M_6$ .

Представленная на рисунке, *a* схема интерфейса ввода позволяет производить прием информации без адресных передач, что упрощает программирование и уменьшает время ввода информации в э.в.м. Ниже в качестве примера приведена программа ввода одного байта информации со входов  $X_2$  мультиплексоров  $M_1 \div M_8$ :

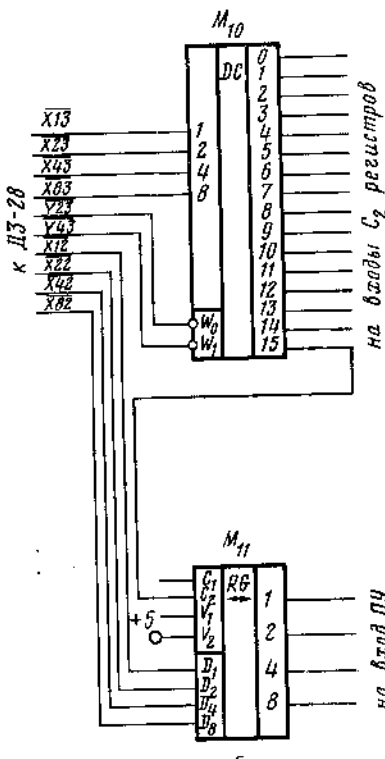
0000	13	02	Запись 0 в $S_2$
0001	00	00	
0002	11	10	Логическая инверсия содержимого $S_2$
0003	00	02	
0004	07	01	Ввод 1 в регистр $x$
0005	01	13	Запись $x$ в $R10$
0006	12	10	
0007	04	12	Прием одного байта
0008	14	06	
0009	05	14	Холостой шаг
0010	05	45	Стоп
0011	05	12	Конец программы

Ввод производится с помощью команды 04 12 14 06, при выполнении которой состояние шины УПР определяется содержимым ячейки  $S_2$ ; принятый байт информации засыпается в  $S_3$ , а время ожидания сигнала СИП определяется содержимым ячейки  $R10$  ( $t = (R10) \times 10$  тактов). На первых двух шагах программы в  $S_2$  засыпается число, соответствующее состоянию управляющих входов мультиплексора, при котором происходит подключение входов  $X_2$  по входу  $B_6$  э.в.м. На управляющие входы э.в.м. ДЗ-28 подаются инвертированные значения, поэтому на следующих двух шагах производится логическая инверсия содержимого ячейки  $S_2$ . Время ожидания сигнала СИП для схемы, представленной на рисунке, определяется переходными параметрами элементов и существенно меньше 10 мкс [2], поэтому в качестве содержимого ячейки  $R10$  можно задавать любое отличное от нуля значение. Если же при выполнении команды ввода сигнал СИП за данное время не поступает, то это свидетельствует о наличии неисправности в схеме интерфейса и на десятом шаге выполнение программы прекращается.

Интерфейс вывода информации состоит из управляемых запоминающих элементов — регистров (до 10 без специальной схемы разветвления) и схемы управления записью информации. На рисунке, б, представлена схема подключения одного из выходных регистров  $M_{11}$ . На информационные входы подаются сигналы с шины  $X_2$  или  $Y_2$ , а на управляющий вход  $C_2$  — сигнал с выхода дешифратора  $M_{10}$ . Дешифратор-демультиплексор  $M_{10}$  предназначен для подачи сигнала записи информации на соответствующий регистр сдвига. Запись информации происходит при поступлении спада этого импульса в момент окончания команды вывода. Значение части  $a$  шины «УПР» определяет номер выходного контакта дешифратора, к которому подключен соответствующий выходной регистр (при программировании следует учесть, что на шины «УПР» и «Вывод» подаются инвертированные значения). Для того чтобы изменение состояния регистров происходило только при определенном значении части  $b$  шины «УПР», например 6, дешифратор  $M_{10}$  стробируется сигналами 2-го и 4-го двоичных разря-



а



б

Принципиальные схемы интерфейса ввода (а) и вывода (б).  $M_1, M_2 \dots M_8$  (на схеме не приведены) подключены аналогично  $M_2$  — К155КП1;  $M_9$  — К155ЛАЭ,  $M_{10}$  — К155ИДЗ,  $M_{12} \dots M_{20}$  (на схеме не приведены) подключены аналогично  $M_{11}$  — К155ИР1; ПУ — периферийные устройства

дов этой части шины «УПР». С выходов регистров информация подается либо на цифровые входы периферийных устройств, либо на цифроаналоговые преобразователи.

В зак-  
ставлени  
ввода и  
вводить ц  
ельных  
таких же  
вается ко  
и может л  
случаев э  
римента  
схемы исп  
рены и поз  
граничено

УДК 681

Микро-  
на на базе  
тегральных  
дартную ко  
плата уст  
ченная для  
пользовате  
жит микро-  
раллельны  
торых стоя  
формирова  
плея РИН  
К1-10» мож  
(без дополн  
черезperi  
(рис. 1). Пр  
заключаетс  
тера и разр  
да-вывода,  
РИН-609 с э  
не использу  
АВТД и Пе  
вода реали  
между РИН  
передачи бл  
ствующее ко  
ся к данн

В заключение следует отметить, что представленные на рисунке схемы интерфейсов ввода и вывода для э.в.м. ДЗ-28 позволяют вводить цифровую информацию со 128 параллельных двоичных разрядов, а выводить 80 таких же разрядов. Скорость обмена ограничивается конструктивными возможностями э.в.м. и может достигать  $\sim 10^4$  байт/с. В большинстве случаев это удовлетворяет требованиям эксперимента [3]. Укажем также, что описанные схемы интерфейсов могут быть просто расширены и позволяют в принципе подключать неограниченное число приборов.

Авторы благодарят Н. Н. Евтихиева за интерес, проявленный к работе.

#### ЛИТЕРАТУРА

1. Техническое описание специализированного управляющего вычислительного устройства «Электроника ДЗ-28» 15ВМ. 1981.
2. Справочник по интегральным микросхемам/Под ред. Тарабрица Б. В. М.: Энергия, 1980, с. 173.
3. Вуколиков В. М., Выставкин А. Н., Олейников А. Я. и др. ПТЭ, 1982, № 1, с. 7.

Московский институт радиотехники, электроники и автоматики  
Поступила в редакцию 29.XII.1982

УДК 681.327.11:681.3-181.48

### СОПРЯЖЕНИЕ МИКРО-Э.В.М. «ЭЛЕКТРОНИКА К1-10» С ДИСПЛЕЕМ РИН-609

ГУРТОВЦЕВ А. Л., ГУРЧИК М. Е., ДРЕННОВ А. Н.

Описаны схема и алгоритмы сопряжения микро-э.в.м. «Электроника К1-10» с дисплеем РИН-609. Дисплей подключается непосредственно к микро-э.в.м. через 6 микросхем К589АП26 шинных формирователей с инверсией и 1 микросхему К580ИК55 периферийного параллельного адаптера. Программные драйверы ввода, вывода и настройки адаптера содержат 41 команду на языке Ассемблер-80. Быстродействие драйверов ввода  $\sim 70$  мкс, вывода  $\sim 60$  мкс.

Микро-э.в.м. «Электроника К1-10» построена на базе микропроцессорного комплекта интегральных схем серий К580 и К589 [1]. В стандартную конфигурацию этой микро-э.в.м. входит плата устройства ввода-вывода, предназначенная для подключения внешних устройств пользователя. Эта плата, в частности, содержит микросхемы К580ИК55 периферийных параллельных адаптеров, на внешних шинах которых стоят микросхемы К589АП26 шинных формирователей с инверсией. Подключение дисплея РИН-609 к микро-э.в.м. «Электроника К1-10» можно осуществить непосредственно (без дополнительных аппаратных доработок) через периферийный параллельный адаптер (рис. 1). При этом проектирование интерфейса заключается в соответствующей настройке адаптера и разработке программных драйверов ввода-вывода, реализующих протокол обмена РИН-609 с э.в.м. [2]. В описываемом интерфейсе не используются такие сигналы РИН-609, как АВТД и Передача, так как драйверы ввода-вывода реализуют позитивный обмен символами между РИН-609 и э.в.м., и для организации передачи блока символов достаточно соответствующее количество раз программно обратиться к данному драйверу.

Настройка адаптера для работы с РИН-609 осуществляется драйвером настройки (рис. 2), который, во-первых, устанавливает конфигурацию портов адаптера в соответствии с рис. 1 (порт A программируется на вывод, порт B — на ввод данных, младшие 4 разряда порта C — на ввод данных, а старшие 4 — на вывод). Во-вторых, драйвер настройки осуществляет начальную установку сигналов управления э.в.м., поступающих на РИН-609 (сигнал IC5, отождествляемый с сигналом УПР э.в.м., устанавливается в «0», сигнал IC6, отождествляемый с сигналом Строб э.в.м., также устанавливается в «0», а сигнал IC4, отождествляемый с сигналом ГОТ э.в.м., — в единичное состояние). Заметим, что при этом соответствующие выходные сигналы KC6, KC5 и KC4 адаптера имеют инверсные значения, так как необходимо учитывать инверсию сигналов шинными формирователями. Время работы драйвера настройки составляет  $\approx 35$  мкс (при тактовой частоте микро-э.в.м. 2 МГц). Этот драйвер включается лишь однажды — при первом обращении микро-э.в.м. к дисплею.

Драйвер ввода (рис. 3, а) осуществляет ввод символа в микро-э.в.м. при нажатии клавиши на пульте дисплея. Вводимый символ по-